

# Lower bounds analysis for quantum linear algebras

邵长鹏

中科院数学学院—数学机械化重点实验室

Based on joint works with Ashley Montanaro and Nikhil Mande

2024 年 5 月 22 日

清华大学



- 量子线性代数在量子算法设计和量子优势探索方面起到了重要作用。

- 量子线性代数在量子算法设计和量子优势探索方面起到了重要作用。
- 哈密顿模拟问题：制备  $|e^{iAt} b\rangle$ 。能够体现量子优势的一个重要问题。

- 量子线性代数在量子算法设计和量子优势探索方面起到了重要作用。
- 哈密顿模拟问题：制备  $|e^{iAt} b\rangle$ 。能够体现量子优势的一个重要问题。
- 求解线性方程组的 HHL 算法：制备  $|A^{-1} b\rangle$ 。极大促进了量子线性代数的发展（包括应用），如  
    机器学习，例如推荐系统：制备  $|A_{\geq \delta i}\rangle$   
    微分方程组求解：制备  $|e^{At} b\rangle$

- 量子线性代数在量子算法设计和量子优势探索方面起到了重要作用。
- 哈密顿模拟问题：制备  $|e^{iAt} b\rangle$ 。能够体现量子优势的一个重要问题。
- 求解线性方程组的 HHL 算法：制备  $|A^{-1}b\rangle$ 。极大促进了量子线性代数的发展（包括应用），如  
    机器学习，例如推荐系统：制备  $|A_{\geq \delta i}\rangle$   
    微分方程组求解：制备  $|e^{At} b\rangle$
- 这些问题都可以简述成矩阵函数的语言：给定函数  $f(x)$ ，矩阵  $A$ ，态  $|b\rangle$ ，制备  $|f(A)b\rangle$ 。

- 量子线性代数在量子算法设计和量子优势探索方面起到了重要作用。
- 哈密顿模拟问题：制备  $|e^{iAt} b\rangle$ 。能够体现量子优势的一个重要问题。
- 求解线性方程组的 HHL 算法：制备  $|A^{-1}b\rangle$ 。极大促进了量子线性代数的发展（包括应用），如  
    机器学习，例如推荐系统：制备  $|A_{\geq \delta i}\rangle$   
    微分方程组求解：制备  $|e^{At} b\rangle$
- 这些问题都可以简述成矩阵函数的语言：给定函数  $f(x)$ ，矩阵  $A$ ，态  $|b\rangle$ ，制备  $|f(A)b\rangle$ 。
- 量子奇异值变换可有效用来制备  $|f(A)b\rangle$ 。

给定矩阵  $A$  和酉矩阵

$$U = \begin{pmatrix} A/\alpha & * \\ * & * \end{pmatrix}$$

设  $f$  是在  $[-1, 1]$  上有界的一个多项式，则存在量子电路实现

$$\tilde{U} = \begin{pmatrix} f(A/\alpha) & * \\ * & * \end{pmatrix}$$

这个量子电路使用了  $O(\deg(f))$  次  $U$ 。

# 量子奇异值变换 (QSVT)

- 如果  $f$  不是多项式，则可以考虑其多项式逼近。

# 量子奇异值变换 (QSVT)

- 如果  $f$  不是多项式，则可以考虑其多项式逼近。
- 直接应用：制备  $|f(A/\alpha)b\rangle$ 。如  
 $f(x) = x^{-1}$ , 则对应于求解线性方程组  
 $f(x) = e^{ixt}$ , 则对应于哈密顿模拟

# 量子奇异值变换 (QSVT)

- 如果  $f$  不是多项式，则可以考虑其多项式逼近。
- 直接应用：制备  $|f(A/\alpha)b\rangle$ 。如  
 $f(x) = x^{-1}$ , 则对应于求解线性方程组  
 $f(x) = e^{ixt}$ , 则对应于哈密顿模拟
- 很多时候得到的量子算法最优，复杂度为  $\widetilde{\deg}_\varepsilon(f)$ ，这里逼近次数 (approximate degree)

$$\begin{aligned}\widetilde{\deg}_\varepsilon(f) &= \min\{d : |f(x) - g(x)| \leq \varepsilon, \forall x \in [-1, 1], \\ &\quad g(x) \text{ 是一个次数为 } d \text{ 的多项式}\}.\end{aligned}$$

QSVT 的复杂度下界为  $\Omega(\max_{x \in [-1, 1]} |f'(x)|)$ 。

## 块嵌入 (block-encoding)

需要假定  $U = \begin{pmatrix} A/\alpha & * \\ * & * \end{pmatrix}$ , 称为  $A$  的块嵌入 (block-encoding)。在一些情形下存在有效构造方式：

需要假定  $U = \begin{pmatrix} A/\alpha & * \\ * & * \end{pmatrix}$ , 称为  $A$  的块嵌入 (block-encoding)。在一些情形下存在有效构造方式：

- $A$  是稀疏的 (这时  $\alpha = s\|A\|_{\max}$ )
- $A$  是密度矩阵或是 POVM 算子 (这时  $\alpha = 1$ )
- $A$  存储在 QRAM 数据结构中 (这时  $\alpha = \|A\|_F$ )  
若经典情形下使用类似数据结构，则存在多项式时间算法“计算” $f(A/\alpha)b$   
[Tang STOC 2018]  $\Rightarrow$  无指数量子加速!
- 通过块嵌入的线性组合或乘法运算来构造新的块嵌入

# 本报告内容：矩阵函数的复杂度下界的一些新的结果和方法

- ① 量子奇异值变换的最优性 [with A. Montanaro, arXiv:2311.06999, STOC 2024]
- ② 量子通信复杂度下的量子奇异值变换 [with A. Montanaro, arXiv:2210.01601, QIP 2023]
- ③ 量子查询复杂度和量子通信复杂度的关联 [with N. Mande, arXiv:2402.15686]

## 定义

设  $A$  是一个厄米矩阵，特征值分解为  $A = UDU^T$ 。设  $f(x)$  是一个在  $D$  上有定义的函数，则<sup>1</sup>

$$f(A) := Uf(D)U^T$$

其中若  $D = \text{diag}(\lambda_1, \dots, \lambda_n)$ , 则  $f(D) = \text{diag}(f(\lambda_1), \dots, f(\lambda_n))$

## 例

- 设  $f = x^k$ , 则  $f(A) = A^k$
- 设  $f = e^x$ , 则  $f(A) = e^A$
- 设  $f = 1/x$ , 则  $f(A) = A^{-1}$

---

<sup>1</sup>Nicholas Higham, Functions of Matrices: Theory and Computations. SIAM 2008

在量子计算领域，一个非常重要的函数是  $f(x) = e^{ixt}$ ，则

$$f(A) = e^{iAt}.$$

对应于哈密顿模拟问题，是量子计算领域最基本也是最重要的问题之一。

在量子计算领域，一个非常重要的函数是  $f(x) = e^{ixt}$ ，则

$$f(A) = e^{iAt}.$$

对应于哈密顿模拟问题，是量子计算领域最基本也是最重要的问题之一。

## 定理 (Low & Chuang, 2017)

假定  $A$  稀疏， $\|A\| \leq 1$ ，则计算  $e^{iAt}|\psi\rangle$  的量子复杂度为

$$\Theta\left(t + \frac{\log(1/\varepsilon)}{\log \log(1/\varepsilon)}\right).$$

在量子计算领域，一个非常重要的函数是  $f(x) = e^{ixt}$ ，则

$$f(A) = e^{iAt}.$$

对应于哈密顿模拟问题，是量子计算领域最基本也是最重要的问题之一。

## 定理 (Low & Chuang, 2017)

假定  $A$  稀疏， $\|A\| \leq 1$ ，则计算  $e^{iAt}|\psi\rangle$  的量子复杂度为

$$\Theta\left(t + \frac{\log(1/\varepsilon)}{\log \log(1/\varepsilon)}\right).$$

该问题是 **BQP-完全问题**（也即能够在量子计算机上有效解决的最困难的一类问题）

- 另外一个 BQP-完全问题是计算  $A^{-1}|b\rangle$ 。对应于求解线性方程组，这里的  $f(x) = 1/x$  [Harrow, Hassidim, Lloyd 2008]

- 另外一个 BQP-完全问题是计算  $A^{-1}|b\rangle$ 。对应于求解线性方程组，这里的  $f(x) = 1/x$  [Harrow, Hassidim, Lloyd 2008]
- 假定  $A$  是稀疏的，则量子算法的复杂度为  $\tilde{\Theta}(\kappa)$ ，其中  $\kappa$  为  $A$  的条件数 [Ambainis 2010]

- 另外一个 BQP-完全问题是计算  $A^{-1}|b\rangle$ 。对应于求解线性方程组，这里的  $f(x) = 1/x$  [Harrow, Hassidim, Lloyd 2008]
- 假定  $A$  是稀疏的，则量子算法的复杂度为  $\tilde{\Theta}(\kappa)$ ，其中  $\kappa$  为  $A$  的条件数 [Ambainis 2010]
- 这些问题都可以使用量子奇异值变换求解，且所得到的量子算法最优。那一般情形下呢？

## 问题

设  $A$  是一个稀疏的厄米矩阵， $\|A\| \leq 1$ ，设  $f : [-1, 1] \rightarrow [-1, 1]$  是一个函数，对任意给定的两个指标  $i, j$ ，研究计算  $f(A)_{i,j} \pm \varepsilon$  的复杂度，尤其是复杂度下界。

# 矩阵函数问题

## 问题

设  $A$  是一个稀疏的厄米矩阵， $\|A\| \leq 1$ ，设  $f : [-1, 1] \rightarrow [-1, 1]$  是一个函数，对任意给定的两个指标  $i, j$ ，研究计算  $f(A)_{i,j} \pm \varepsilon$  的复杂度，尤其是复杂度下界。

## 定义 (查询复杂度 (query complexity))

设  $A = (A_{i,j})_{n \times n}$  是一个稀疏的厄米矩阵，给定两个 Oracle

$$(i, j) \longrightarrow \mathcal{O}_1 \longrightarrow p_{i,j}$$

$$(i, j) \longrightarrow \mathcal{O}_2 \longrightarrow A_{i,j}$$

其中  $p_{i,j}$  是第  $i$  行第  $j$  个非零元素的位置。查询复杂度定义为逼近  $f(A)_{i,j}$  所使用的  $\mathcal{O}_1, \mathcal{O}_2$  的最少个数。

## 定理 (基于量子奇异值变换)

假定  $\|A\| \leq 1 - \delta$ , 这里  $\delta > 0$ 。对任意  $|x\rangle, |y\rangle$ , 存在量子算法计算  $\langle x|f(A)|y\rangle \pm \varepsilon$ , 其复杂度为

$$O\left(\frac{C}{\varepsilon} \widetilde{\deg}_\varepsilon(f)\right)$$

其中  $C = \frac{s}{\delta} \log(\widetilde{\deg}_\varepsilon(f))$ , 这里  $s$  为稀疏度 (即每行/列非零元素个数  $\leq s$ )。

注: 假定  $\|A\| \leq 1 - \delta$  是希望得到如下的 block-encoding

$$U = \begin{pmatrix} A & * \\ * & * \end{pmatrix}$$

例子：矩阵幂次  $A^d$

经典算法：

- 设  $A$  的稀疏度为  $s$ 。按定义

$$(A^d)_{i,j} = \sum_{k_1} \sum_{k_2} \cdots \sum_{k_{d-1}} A_{i,k_1} A_{k_1,k_2} \cdots A_{k_{d-1},j}$$

由于稀疏性，复杂度为  $O(s^{d-1})$

# 例子：矩阵幂次 $A^d$

## 经典算法：

- 设  $A$  的稀疏度为  $s$ 。按定义

$$(A^d)_{i,j} = \sum_{k_1} \sum_{k_2} \cdots \sum_{k_{d-1}} A_{i,k_1} A_{k_1,k_2} \cdots A_{k_{d-1},j}$$

由于稀疏性，复杂度为  $O(s^{d-1})$

- 对于  $x^d$ ，存在次数为  $\Theta(\sqrt{d})$  的逼近多项式，因此结果可改进到  $s^{O(\sqrt{d})}$   
[Sachdeva & Vishnoi, 2014]

## 例子：矩阵幂次 $A^d$

### 经典算法：

- 设  $A$  的稀疏度为  $s$ 。按定义

$$(A^d)_{i,j} = \sum_{k_1} \sum_{k_2} \cdots \sum_{k_{d-1}} A_{i,k_1} A_{k_1,k_2} \cdots A_{k_{d-1},j}$$

由于稀疏性，复杂度为  $O(s^{d-1})$

- 对于  $x^d$ ，存在次数为  $\Theta(\sqrt{d})$  的逼近多项式，因此结果可改进到  $s^{O(\sqrt{d})}$   
[Sachdeva & Vishnoi, 2014]
- 该问题是 BQP-完全问题 [Janzing & Wocjan, 2007]

## 例子：矩阵幂次 $A^d$

### 经典算法：

- 设  $A$  的稀疏度为  $s$ 。按定义

$$(A^d)_{i,j} = \sum_{k_1} \sum_{k_2} \cdots \sum_{k_{d-1}} A_{i,k_1} A_{k_1,k_2} \cdots A_{k_{d-1},j}$$

由于稀疏性，复杂度为  $O(s^{d-1})$

- 对于  $x^d$ ，存在次数为  $\Theta(\sqrt{d})$  的逼近多项式，因此结果可改进到  $s^{O(\sqrt{d})}$  [Sachdeva & Vishnoi, 2014]
- 该问题是 BQP-完全问题 [Janzing & Wocjan, 2007]
- 我们的结果： $\tilde{\Omega}((s/2)^{(\sqrt{d}-1)/6})$

# 例子：矩阵幂次 $A^d$

## 经典算法：

- 设  $A$  的稀疏度为  $s$ 。按定义

$$(A^d)_{i,j} = \sum_{k_1} \sum_{k_2} \cdots \sum_{k_{d-1}} A_{i,k_1} A_{k_1,k_2} \cdots A_{k_{d-1},j}$$

由于稀疏性，复杂度为  $O(s^{d-1})$

- 对于  $x^d$ ，存在次数为  $\Theta(\sqrt{d})$  的逼近多项式，因此结果可改进到  $s^{O(\sqrt{d})}$  [Sachdeva & Vishnoi, 2014]
- 该问题是 BQP-完全问题 [Janzing & Wocjan, 2007]
- 我们的结果： $\tilde{\Omega}((s/2)^{(\sqrt{d}-1)/6})$

## 例子：矩阵幂次 $A^d$

### 经典算法：

- 设  $A$  的稀疏度为  $s$ 。按定义

$$(A^d)_{i,j} = \sum_{k_1} \sum_{k_2} \cdots \sum_{k_{d-1}} A_{i,k_1} A_{k_1,k_2} \cdots A_{k_{d-1},j}$$

由于稀疏性，复杂度为  $O(s^{d-1})$

- 对于  $x^d$ ，存在次数为  $\Theta(\sqrt{d})$  的逼近多项式，因此结果可改进到  $s^{O(\sqrt{d})}$  [Sachdeva & Vishnoi, 2014]
- 该问题是 BQP-完全问题 [Janzing & Wocjan, 2007]
- 我们的结果： $\tilde{\Omega}((s/2)^{(\sqrt{d}-1)/6})$

### 量子算法：

- 复杂度上界  $O(s\sqrt{d}/\varepsilon)$  [Gilyén, Su, Low, Wiebe, 2018]

## 例子：矩阵幂次 $A^d$

### 经典算法：

- 设  $A$  的稀疏度为  $s$ 。按定义

$$(A^d)_{i,j} = \sum_{k_1} \sum_{k_2} \cdots \sum_{k_{d-1}} A_{i,k_1} A_{k_1,k_2} \cdots A_{k_{d-1},j}$$

由于稀疏性，复杂度为  $O(s^{d-1})$

- 对于  $x^d$ ，存在次数为  $\Theta(\sqrt{d})$  的逼近多项式，因此结果可改进到  $s^{O(\sqrt{d})}$  [Sachdeva & Vishnoi, 2014]
- 该问题是 BQP-完全问题 [Janzing & Wocjan, 2007]
- 我们的结果： $\tilde{\Omega}((s/2)^{(\sqrt{d}-1)/6})$

### 量子算法：

- 复杂度上界  $O(s\sqrt{d}/\varepsilon)$  [Gilyén, Su, Low, Wiebe, 2018]
- 我们的结果：复杂度下界  $\Omega(\sqrt{d})$

# 一般性结果

设  $f$  连续,  $A$  稀疏厄米, 则计算  $f(A)_{i,j} \pm \varepsilon$  的复杂度如下

	量子算法	经典算法
复杂度上界	$O(sd/\varepsilon)$	$O(s^{d-1})$
复杂度下界	$\Omega(d)$	$\Omega((s/2)^{(d-1)/6})$

其中  $d = \widetilde{\deg}_\varepsilon(f)$ 。

## 定理

设  $f(x) : [-1, 1] \rightarrow [-1, 1]$  是连续函数，设  $f_{\text{odd}}(x), f_{\text{even}}(x)$  是奇、偶部分。则

- 存在对称的三对角阵  $A$  满足  $\|A\| \leq 1$  使得  $f(A)_{1,n} = \varepsilon$ , 其中  
 $n = \widetilde{\deg}_\varepsilon(f_{\text{odd}}) + O(1)$
- 存在对称的三对角阵  $A$  满足  $\|A\| \leq 1$  使得  $f(A)_{2,n-1} = \varepsilon$ , 其中  
 $n = \widetilde{\deg}_\varepsilon(f_{\text{even}}) + O(1)$

证明：线性半无限规划问题 + 对偶多项式方法 + 三对角阵的性质。

□

# 量子算法的复杂度下界

奇偶性判定问题 (Parity problem): 给定  $x_1, \dots, x_n \in \{0, 1\}$ , 计算  $x_1 \oplus \dots \oplus x_n$ 。经典/量子算法复杂度都为  $\Theta(n)$

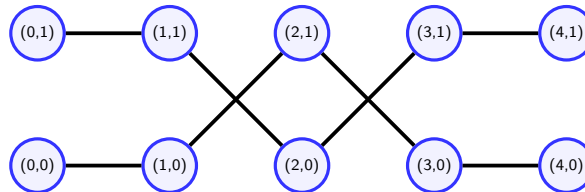
# 量子算法的复杂度下界

奇偶性判定问题 (Parity problem): 给定  $x_1, \dots, x_n \in \{0, 1\}$ , 计算  $x_1 \oplus \dots \oplus x_n$ 。经典/量子算法复杂度都为  $\Theta(n)$

构造带权图  $G$ :

- **顶点:**  $(i, t)$ , 其中  $i \in \{0, 1, \dots, n\}$ ,  $t \in \{0, 1\}$
- **边:**  $(i - 1, t)$  和  $(i, t \oplus x_i)$  之间存在一条边

例如  $(x_1, x_2, x_3, x_4) = (0, 1, 1, 0)$ , 则  $G$  为



本质上， $G$  由两条道路构成

$$(0, 0) - (1, x_0) - (2, x_0 \oplus x_1) - \cdots - (n, x_0 \oplus \cdots \oplus x_{n-1})$$

$$(0, 1) - (1, 1 \oplus x_0) - (2, 1 \oplus x_0 \oplus x_1) - \cdots - (n, 1 \oplus x_0 \oplus \cdots \oplus x_{n-1})$$

本质上， $G$  由两条道路构成

$$(0, 0) - (1, x_0) - (2, x_0 \oplus x_1) - \cdots - (n, x_0 \oplus \cdots \oplus x_{n-1})$$

$$(0, 1) - (1, 1 \oplus x_0) - (2, 1 \oplus x_0 \oplus x_1) - \cdots - (n, 1 \oplus x_0 \oplus \cdots \oplus x_{n-1})$$

设  $A$  是图的邻接矩阵（本质上是两个三对角型矩阵），则

- **情形 1：**若  $x_1 \oplus x_2 \oplus \cdots \oplus x_n = 0$ ，则  $\langle 0, 0 | f(A) | n, 1 \rangle = 0$

本质上， $G$  由两条道路构成

$$(0, 0) - (1, x_0) - (2, x_0 \oplus x_1) - \cdots - (n, x_0 \oplus \cdots \oplus x_{n-1})$$

$$(0, 1) - (1, 1 \oplus x_0) - (2, 1 \oplus x_0 \oplus x_1) - \cdots - (n, 1 \oplus x_0 \oplus \cdots \oplus x_{n-1})$$

设  $A$  是图的邻接矩阵（本质上是两个三对角型矩阵），则

- **情形 1：**若  $x_1 \oplus x_2 \oplus \cdots \oplus x_n = 0$ ，则  $\langle 0, 0 | f(A) | n, 1 \rangle = 0$
- **情形 2：**若  $x_1 \oplus x_2 \oplus \cdots \oplus x_n = 1$ ，则希望选取合适的权重，使得  $\langle 0, 0 | f(A) | n, 1 \rangle \geq \varepsilon$ ，权重由关键定理给出

# 经典算法的复杂度下界

Forrelation 问题 (Aaronson & Ambainis, 2015):

给定  $g_1, g_2 : \{0, 1\}^n \rightarrow \{\pm 1\}$ , 令  $D_i = \text{diag}(g_i(x) : x \in \{0, 1\}^n)$ ,  $H = \frac{1}{\sqrt{2}} \begin{pmatrix} 1 & 1 \\ 1 & -1 \end{pmatrix}$ 。  
设

$$\begin{aligned}\Phi(g_1, g_2) &:= \langle 0^n | H^{\otimes n} D_1 H^{\otimes n} D_2 H^{\otimes n} | 0^n \rangle \\ &= \frac{1}{2^{3n/2}} \sum_{x, y \in \{0, 1\}^n} (-1)^{x \cdot y} f(x) g(y).\end{aligned}$$

目标是计算  $\Phi(g_1, g_2) \pm 1/3$

# 经典算法的复杂度下界

Forrelation 问题 (Aaronson & Ambainis, 2015):

给定  $g_1, g_2 : \{0, 1\}^n \rightarrow \{\pm 1\}$ , 令  $D_i = \text{diag}(g_i(x) : x \in \{0, 1\}^n)$ ,  $H = \frac{1}{\sqrt{2}} \begin{pmatrix} 1 & 1 \\ 1 & -1 \end{pmatrix}$ 。  
设

$$\begin{aligned}\Phi(g_1, g_2) &:= \langle 0^n | H^{\otimes n} D_1 H^{\otimes n} D_2 H^{\otimes n} | 0^n \rangle \\ &= \frac{1}{2^{3n/2}} \sum_{x, y \in \{0, 1\}^n} (-1)^{x \cdot y} f(x) g(y).\end{aligned}$$

目标是计算  $\Phi(g_1, g_2) \pm 1/3$

关于该问题, 经典算法的复杂度下界为  $\Omega(\sqrt{2^n}/n)$ , 量子算法的复杂度上界为  $O(1)$

# Feynman 的 Clock 构造法

设  $U = U_{N-1} \cdots U_2 U_1$  是一个酉算子，令

$$A = \begin{pmatrix} 0 & b_1 U_1^\dagger & & \\ b_1 U_1 & 0 & b_2 U_2^\dagger & \\ & b_2 U_2 & \ddots & \ddots \\ & & \ddots & \ddots \end{pmatrix}$$

## Feynman 的 Clock 构造法

设  $U = U_{N-1} \cdots U_2 U_1$  是一个酉算子，令

$$A = \begin{pmatrix} 0 & b_1 U_1^\dagger \\ b_1 U_1 & 0 & b_2 U_2^\dagger \\ & b_2 U_2 & \ddots & \ddots \\ & & \ddots & \ddots \end{pmatrix}$$

设  $|\psi_t\rangle := |t\rangle \otimes U_t \cdots U_1 |0\rangle$ ，则

$$A|\psi_t\rangle = b_{t-1}|\psi_{t-1}\rangle + b_{t+1}|\psi_{t+1}\rangle$$

因此在子空间  $\{|\psi_t\rangle : t = 0, 1, \dots, N-1\}$  中， $A$  是一个三对角阵

在 Forrelation 问题中,  $U = H^{\otimes n}D_1H^{\otimes n}D_2H^{\otimes n}$ , 为确保  $A$  的稀疏性, 视

$$H^{\otimes n} = (H \otimes I \otimes \cdots \otimes I)(I \otimes H \otimes \cdots \otimes I) \cdots (I \otimes I \otimes \cdots \otimes H)$$

在 Forrelation 问题中,  $U = H^{\otimes n}D_1H^{\otimes n}D_2H^{\otimes n}$ , 为确保  $A$  的稀疏性, 视

$$H^{\otimes n} = (H \otimes I \otimes \cdots \otimes I)(I \otimes H \otimes \cdots \otimes I) \cdots (I \otimes I \otimes \cdots \otimes H)$$

这时  $N = 3n + 2$ ,

$$\begin{aligned} |\psi_0\rangle &= |0\rangle \otimes |0\rangle \\ |\psi_{N-1}\rangle &= |N-1\rangle \otimes H^{\otimes n}D_1H^{\otimes n}D_2H^{\otimes n}|0\rangle \end{aligned}$$

在 Forrelation 问题中,  $U = H^{\otimes n}D_1H^{\otimes n}D_2H^{\otimes n}$ , 为确保  $A$  的稀疏性, 视

$$H^{\otimes n} = (H \otimes I \otimes \cdots \otimes I)(I \otimes H \otimes \cdots \otimes I) \cdots (I \otimes I \otimes \cdots \otimes H)$$

这时  $N = 3n + 2$ ,

$$\begin{aligned} |\psi_0\rangle &= |0\rangle \otimes |0\rangle \\ |\psi_{N-1}\rangle &= |N-1\rangle \otimes H^{\otimes n}D_1H^{\otimes n}D_2H^{\otimes n}|0\rangle \end{aligned}$$

令  $|\phi_{N-1}\rangle = |N-1\rangle \otimes |0\rangle$ , 则

$$\langle \phi_{N-1} | f(A) | \psi_0 \rangle = \langle \psi_{N-1} | f(A) | \psi_0 \rangle \cdot \Phi(g_1, g_2)$$

## 经典算法的复杂度下界

在 Forrelation 问题中,  $U = H^{\otimes n}D_1H^{\otimes n}D_2H^{\otimes n}$ , 为确保  $A$  的稀疏性, 视

$$H^{\otimes n} = (H \otimes I \otimes \cdots \otimes I)(I \otimes H \otimes \cdots \otimes I) \cdots (I \otimes I \otimes \cdots \otimes H)$$

这时  $N = 3n + 2$ ,

$$\begin{aligned} |\psi_0\rangle &= |0\rangle \otimes |0\rangle \\ |\psi_{N-1}\rangle &= |N-1\rangle \otimes H^{\otimes n}D_1H^{\otimes n}D_2H^{\otimes n}|0\rangle \end{aligned}$$

令  $|\phi_{N-1}\rangle = |N-1\rangle \otimes |0\rangle$ , 则

$$\langle \phi_{N-1} | f(A) | \psi_0 \rangle = \langle \psi_{N-1} | f(A) | \psi_0 \rangle \cdot \Phi(g_1, g_2)$$

↓

$f(A)$  的一个分量

↓

易

↓

难

# 第一部分总结

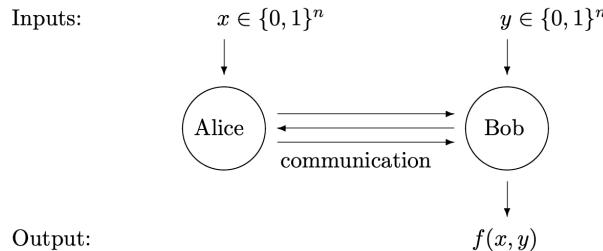
- 对于矩阵函数问题，我们有

	量子算法	经典算法
复杂度上界	$O(sd/\varepsilon)$	$O(s^{d-1})$
复杂度下界	$\Omega(d)$	$\Omega((s/2)^{(d-1)/6})$

- 关于逼近次数  $d$ ，证明了量子算法的最优性
- 对于矩阵函数问题，证明了量子和经典算法的差距是指数级
- 对精度  $\varepsilon$  的下界估计， $\Omega(1/\varepsilon)$ ?

# 通信复杂度 (communication complexity)

- 由姚期智先生提出，在很多领域有着重要应用，尤其是在复杂度下界证明方面。
- 问题：Alice 有  $x = (x_1, \dots, x_n) \in \{0, 1\}^n$ , Bob 有  $y = (y_1, \dots, y_n) \in \{0, 1\}^n$ , 目标是计算  $f(x, y)$ 。



- 通信复杂度:= 计算  $f(x, y)$  所传递的比特数。

局部计算代价 (也即 Alice 或 Bob 本身计算的代价) 不计入通信复杂度中。

在量子情形下，也有类似的定义，这时传递的是量子信息 (如量子态)，量子通信复杂度指代的是量子比特的传递个数。

## 例 (正交性问题, Disjointness problem)

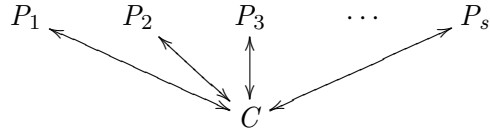
Alice 有  $(x_1, \dots, x_n)$ , Bob 有  $(y_1, \dots, y_n)$ , 目标是判定是否存在  $i$  使得  $x_i = y_i = 1$ .

经典 vs 量子 =  $\Theta(n)$  vs  $\Theta(\sqrt{n})$

Multi-player 情形: 设  $i \in \{1, \dots, s\}$ , player  $P_i$  有矩阵  $A_i \in \mathbb{R}^{m_i \times n}$  和向量  $b_i \in \mathbb{R}^{m_i}$ , 令

$$A = \begin{pmatrix} A_1 \\ \vdots \\ A_s \end{pmatrix}, \quad b = \begin{pmatrix} b_1 \\ \vdots \\ b_s \end{pmatrix}.$$

假定存在 coordinator  $C$  可与 player  $P_i$  双向交流



目标：给定函数  $f(x)$ , coordinator  $C$  输出量子态  $|f(A)b\rangle \pm \varepsilon$ 。

# 主要结果

## 定理 (QSVT w.r.t. communication complexity)

*In the quantum coordinator model, there is a quantum protocol for the referee to use*

$$\tilde{U} = \begin{pmatrix} f(A/\alpha) & * \\ * & * \end{pmatrix}$$

*once with  $O(sd \log n)$  qubits communication, where  $d = \widetilde{\deg}_\varepsilon(f)$  and*

$$\alpha = \sqrt{\sum_{i=1}^s \|A_i\|^2} = O(\sqrt{s}\|A\|).$$

## 证明简述: LCU 方法回顾

给定酉矩阵  $U_1, \dots, U_s$  和正实数  $\alpha_1, \dots, \alpha_s$ , 目标是实现  $\sum \alpha_i U_i |\psi\rangle$ .

- 初始态, 令  $\alpha = \sum_i \alpha_i$  和  $V|0\rangle = \frac{1}{\sqrt{\alpha}} \sum_{i=1}^s \sqrt{\alpha_i} |i\rangle$ . 制备

$$\frac{1}{\sqrt{\alpha}} \sum_{i=1}^s \sqrt{\alpha_i} |i\rangle |\psi\rangle.$$

- 受控作用  $\sum_i |i\rangle\langle i| \otimes U_i$

$$\frac{1}{\sqrt{\alpha}} \sum_{i=1}^s \sqrt{\alpha_i} |i\rangle U_i |\psi\rangle.$$

- 使用  $V^{-1}$

$$\frac{1}{\alpha} \sum_{i=1}^s \alpha_i |0\rangle U_i |\psi\rangle + |\perp\rangle.$$

## 证明简述

- ①  $P_i$  构造  $U_i = \begin{pmatrix} A_i/\|A_i\| & * \\ * & * \end{pmatrix}$ , 回顾  $A = \begin{pmatrix} A_1 \\ \vdots \\ A_s \end{pmatrix}$
- ② 利用 LCU 方法来构造  $A$  的 block-encoding, 也即实现  $\sum_i \|A_i\| |i\rangle \otimes U_i$ :

$$U = \left( \sum_{i=1}^s |i\rangle\langle i| \otimes U_i \right) (V \otimes I_2 \otimes I_n)$$

其中  $V|0\rangle = \frac{1}{\alpha} \sum_{i=1}^s \|A_i\| |i\rangle$ .

- ③ QSVT 的量子电路形如:

$$\tilde{U} = W_0 U W_1 U^\dagger W_2 U W_3 U^\dagger \cdots W_d U$$

## 推论

求解线性回归问题的量子通信复杂度为  $\tilde{O}(s^{1.5}\kappa)$ ，其中  $\kappa$  是矩阵  $A$  的条件数。

## 推论

求解线性回归问题的量子通信复杂度为  $\tilde{O}(s^{1.5}\kappa)$ , 其中  $\kappa$  是矩阵  $A$  的条件数。

注：由量子奇异值变换，求解线性回归问题的时间/查询复杂度为  $\tilde{O}(T_A\alpha/\sigma_{\min})$ ，其中  $\sigma_{\min}$  是最小非零奇异值， $T_A$  是构造 block-encoding

$$U = \begin{pmatrix} A/\alpha & * \\ * & * \end{pmatrix}$$

的代价。在通信复杂度情形下，其实有  $T_A = O((s/\sigma_{\min}) \log n)$ ,  $\alpha = O(\sqrt{s}\sigma_{\max})$ 。

## 推论

求解线性回归问题的量子通信复杂度为  $\tilde{O}(s^{1.5}\kappa)$ , 其中  $\kappa$  是矩阵  $A$  的条件数。

注：由量子奇异值变换，求解线性回归问题的时间/查询复杂度为  $\tilde{O}(T_A\alpha/\sigma_{\min})$ ，其中  $\sigma_{\min}$  是最小非零奇异值， $T_A$  是构造 block-encoding

$$U = \begin{pmatrix} A/\alpha & * \\ * & * \end{pmatrix}$$

的代价。在通信复杂度情形下，其实有  $T_A = O((s/\sigma_{\min}) \log n)$ ,  $\alpha = O(\sqrt{s}\sigma_{\max})$ 。

一个好处：对于 QSVT，“Block-encoding 假定”在量子通信复杂度下很容易实现。

# 查询复杂度和通信复杂度的关系

- 查询复杂度 (布尔函数情形): 给定布尔函数  $f$  和一个布尔输入  $x = (x_1, \dots, x_n)$ , 目标是计算  $f(x)$ 。假定只有一个 Oracle  $O : i \rightarrow x_i$ 。需要调用多少次  $O$ 。

# 查询复杂度和通信复杂度的关系

- 查询复杂度 (布尔函数情形): 给定布尔函数  $f$  和一个布尔输入  $x = (x_1, \dots, x_n)$ , 目标是计算  $f(x)$ 。假定只有一个 Oracle  $O : i \rightarrow x_i$ 。需要调用多少次  $O$ 。
- 通信复杂度: Alice 有  $x = (x_1, \dots, x_n)$ , Bob 有  $y = (y_1, \dots, y_n)$ , 目标是计算  $f(x, y)$ 。

# 查询复杂度和通信复杂度的关系

- 查询复杂度 (布尔函数情形): 给定布尔函数  $f$  和一个布尔输入  $x = (x_1, \dots, x_n)$ , 目标是计算  $f(x)$ 。假定只有一个 Oracle  $O: i \rightarrow x_i$ 。需要调用多少次  $O$ 。
- 通信复杂度: Alice 有  $x = (x_1, \dots, x_n)$ , Bob 有  $y = (y_1, \dots, y_n)$ , 目标是计算  $f(x, y)$ 。
- Buhrman, Cleve, Wigderson [STOC '98]:  
设  $g: \{0, 1\}^n \rightarrow \{0, 1\}$ ,  $\star$  是一个二元运算 (例如  $\oplus, \wedge$ ), 令  $f(x, y) := g(x \star y)$ 。  
如果存在一个查询复杂度为  $T$  的量子算法可计算  $g$ , 则存在一个量子通信方案, 其通信复杂度为  $C = T(2 \log n + 4)$ , 可计算  $f$ 。

# 查询复杂度和通信复杂度的关系

- 查询复杂度 (布尔函数情形): 给定布尔函数  $f$  和一个布尔输入  $x = (x_1, \dots, x_n)$ , 目标是计算  $f(x)$ 。假定只有一个 Oracle  $O: i \rightarrow x_i$ 。需要调用多少次  $O$ 。
- 通信复杂度: Alice 有  $x = (x_1, \dots, x_n)$ , Bob 有  $y = (y_1, \dots, y_n)$ , 目标是计算  $f(x, y)$ 。
- Buhrman, Cleve, Wigderson [STOC '98]:  
设  $g: \{0, 1\}^n \rightarrow \{0, 1\}$ ,  $\star$  是一个二元运算 (例如  $\oplus, \wedge$ ), 令  $f(x, y) := g(x \star y)$ 。  
如果存在一个查询复杂度为  $T$  的量子算法可计算  $g$ , 则存在一个量子通信方案, 其通信复杂度为  $C = T(2 \log n + 4)$ , 可计算  $f$ 。
- 这一结果的价值是两方面的:
  1. 可用量子查询算法来设计量子通信方案;
  2. 可用量子通信复杂度来估计量子查询复杂度的下界。

# 一个例子

搜索问题 (查询复杂度): 计算布尔函数  $x_1 \vee \cdots \vee x_n$ 。

# 一个例子

搜索问题 (查询复杂度): 计算布尔函数  $x_1 \vee \cdots \vee x_n$ 。

正交性问题 (通信复杂度): Alice 有  $(x_1, \dots, x_n)$ , Bob 有  $(y_1, \dots, y_n)$ , 目标是判定是否存在  $i$  使得  $x_i = y_i = 1$ 。也即计算布尔函数  $(x_1 \wedge y_1) \vee \cdots \vee (x_n \wedge y_n)$ 。

# 一个例子

搜索问题 (查询复杂度): 计算布尔函数  $x_1 \vee \cdots \vee x_n$ 。

正交性问题 (通信复杂度): Alice 有  $(x_1, \dots, x_n)$ , Bob 有  $(y_1, \dots, y_n)$ , 目标是判定是否存在  $i$  使得  $x_i = y_i = 1$ 。也即计算布尔函数  $(x_1 \wedge y_1) \vee \cdots \vee (x_n \wedge y_n)$ 。

利用 Grover 算法可得到一个量子通信方案求解正交性问题, 复杂度为  $O(\sqrt{n} \log n)$ , 可改进到  $O(\sqrt{n})$  [Aaronson, Ambainis FOCS '03]。

# 一个例子

搜索问题 (查询复杂度): 计算布尔函数  $x_1 \vee \cdots \vee x_n$ 。

正交性问题 (通信复杂度): Alice 有  $(x_1, \dots, x_n)$ , Bob 有  $(y_1, \dots, y_n)$ , 目标是判定是否存在  $i$  使得  $x_i = y_i = 1$ 。也即计算布尔函数  $(x_1 \wedge y_1) \vee \cdots \vee (x_n \wedge y_n)$ 。

利用 Grover 算法可得到一个量子通信方案求解正交性问题, 复杂度为  $O(\sqrt{n} \log n)$ , 可改进到  $O(\sqrt{n})$  [Aaronson, Ambainis FOCS '03]。

正交性问题的通信复杂度下界为  $\Omega(\sqrt{n})$ , 因此可得到搜索问题的查询复杂度下界为  $\Omega(\sqrt{n}/\log n)$ , 可改进到  $\Omega(\sqrt{n})$  [Razborov, 2003]。

设  $A$  是一个矩阵，且存在酉矩阵满足

$$U = \begin{pmatrix} A/\alpha & * \\ * & * \end{pmatrix}$$

一个查询复杂度为  $T$  的量子算法形如：

$$W_1 \tilde{U} W_2 \tilde{U} W_3 \tilde{U} \cdots W_T \tilde{U} W_{T+1},$$

其中  $W_i$  是与  $U$  无关的酉矩阵， $\tilde{U} \in \{U, U^{-1}, cU, cU^{-1}\}$ .

## 定理 (关于矩阵)

设 Alice 和 Bob 分别有矩阵  $A_1, A_2$  和酉矩阵  $U_1 = \begin{pmatrix} A_1/\alpha_1 & * \\ * & * \end{pmatrix}$ ,  
 $U_2 = \begin{pmatrix} A_2/\alpha_2 & * \\ * & * \end{pmatrix}$ . 令  $A = \begin{pmatrix} A_1 \\ A_2 \end{pmatrix} \in \mathbb{C}^{m \times n}$ , 则存在一个量子通信方案可让 Alice  
和 Bob 使用酉矩阵  $U = \begin{pmatrix} A/\sqrt{\alpha_1^2 + \alpha_2^2} & * \\ * & * \end{pmatrix}$ 。调用一次的量子通信复杂度为  
 $O(\log(mn))$ .

## 定理 (关于向量)

设 Alice 和 Bob 分别有向量  $b_1, b_2$  和酉矩阵  $W_1, W_2$  可制备  $|b_1\rangle, |b_2\rangle$ . 令

$b = \begin{pmatrix} b_1 \\ b_2 \end{pmatrix} \in \mathbb{C}^m$ , 则存在一个量子通信方案可让 Alice 和 Bob 使用酉矩阵  $W$  可制备  $|b\rangle$ , 调用一次的量子通信复杂度为  $O(\log(m))$ .

## 定理

假定同上，如果存在一个查询复杂度为  $T$  的量子算法求解矩阵-向量  $A, b$  的问题，则存在一个量子通信方案解决同一问题，其复杂度为  $O(T \log(mn))$ 。

## 定理

假定同上，如果存在一个查询复杂度为  $T$  的量子算法求解矩阵-向量  $A, b$  的问题，则存在一个量子通信方案解决同一问题，其复杂度为  $O(T \log(mn))$ 。

一个特殊情况：Alice 有  $A$ , Bob 有  $b$ . 这时算法

$$W_1 \tilde{U} W_2 \tilde{U} W_3 \tilde{U} \cdots W_T \tilde{U} W_{T+1}$$

中 Alice 可调用  $\tilde{U}$ , Bob 可调用  $W_i$ 。

## 一些例子：求解线性方程组

求解线性方程组： $Ax = b$ . 关于该问题，其查询复杂度下界为  $\Omega(\kappa)$ ，其中  $\kappa$  是  $A$  的条件数。

## 一些例子：求解线性方程组

求解线性方程组： $A\mathbf{x} = \mathbf{b}$ . 关于该问题，其查询复杂度下界为  $\Omega(\kappa)$ ，其中  $\kappa$  是  $A$  的条件数。

考虑正交性问题：Alice 有  $(x_1, \dots, x_n)$ , Bob 有  $(y_1, \dots, y_n)$ ，目标是判定是否存在  $i$  使得  $x_i = y_i = 1$ 。

## 一些例子：求解线性方程组

求解线性方程组： $A\mathbf{x} = b$ . 关于该问题，其查询复杂度下界为  $\Omega(\kappa)$ ，其中  $\kappa$  是  $A$  的条件数。

考虑正交性问题：Alice 有  $(x_1, \dots, x_n)$ , Bob 有  $(y_1, \dots, y_n)$ ，目标是判定是否存在  $i$  使得  $x_i = y_i = 1$ 。

构造  $A, b$ :  $A$  是对角阵:  $A_{ii} = \begin{cases} 1/\sqrt{n} & x_i = 1 \\ 1 & x_i = 0 \end{cases}$ ,  $b$  是向量  $(y_1, \dots, y_n)^T$ 。则方程解为

$$x_i = \begin{cases} \sqrt{n} & x_i = y_i = 1 \\ 1 & x_i = 0, y_i = 1 \\ 0 & y_i = 0 \end{cases}$$

## 一些例子：求解线性方程组

求解线性方程组： $A\mathbf{x} = \mathbf{b}$ . 关于该问题，其查询复杂度下界为  $\Omega(\kappa)$ ，其中  $\kappa$  是  $A$  的条件数。

考虑正交性问题：Alice 有  $(x_1, \dots, x_n)$ , Bob 有  $(y_1, \dots, y_n)$ ，目标是判定是否存在  $i$  使得  $x_i = y_i = 1$ 。

构造  $A, b$ :  $A$  是对角阵:  $A_{ii} = \begin{cases} 1/\sqrt{n} & x_i = 1 \\ 1 & x_i = 0 \end{cases}$ ,  $b$  是向量  $(y_1, \dots, y_n)^T$ 。则方程解为

$$x_i = \begin{cases} \sqrt{n} & x_i = y_i = 1 \\ 1 & x_i = 0, y_i = 1 \\ 0 & y_i = 0 \end{cases}$$

如果可得到解的量子态，则观测时将以概率  $\approx 1/2$  得到  $i$  满足  $x_i = y_i = 1$ . 这时  $\kappa = \sqrt{n}$ . 因此，求解线性方程组的查询复杂度下界为  $\Omega(\kappa / \log n)$ 。

## 一些例子：矩阵指数

给定矩阵  $A$  满足  $\|A\| \leq 1$ , 计算  $e^{At}b$ 。复杂度上界为  $O(e^t)$ 。

## 一些例子：矩阵指数

给定矩阵  $A$  满足  $\|A\| \leq 1$ , 计算  $e^{At}b$ 。复杂度上界为  $O(e^t)$ 。

根据正交性问题, 构造  $A, b$ :  $A$  是对角阵, 把  $x$  放在对角线上。 $b$  还是向量  $(y_1, \dots, y_n)^T$ 。取  $t = \frac{1}{2} \ln(n)$ 。则

$$(e^{At}b)_i = \begin{cases} e^t & x_i = y_i = 1 \\ 1 & x_i = 0, y_i = 1 \\ 0 & y_i = 0 \end{cases}$$

## 一些例子：矩阵指数

给定矩阵  $A$  满足  $\|A\| \leq 1$ , 计算  $e^{At}b$ 。复杂度上界为  $O(e^t)$ 。

根据正交性问题, 构造  $A, b$ :  $A$  是对角阵, 把  $x$  放在对角线上。 $b$  还是向量  $(y_1, \dots, y_n)^T$ 。取  $t = \frac{1}{2} \ln(n)$ 。则

$$(e^{At}b)_i = \begin{cases} e^t & x_i = y_i = 1 \\ 1 & x_i = 0, y_i = 1 \\ 0 & y_i = 0 \end{cases}$$

如果有  $e^{At}b$  的量子态, 则观测时将以概率  $\approx 1/2$  得到  $i$  满足  $x_i = y_i = 1$ . 这时  $e^t = \sqrt{n}$ . 因此, 计算  $e^{At}$  的查询复杂度下界为  $\Omega(e^t / \log n)$ 。

## 第二部分总结

- 给出了量子通信复杂度模型下的 QSVT 的实现方案  
⇒ 有望从通信复杂度角度得到更多关于量子优势的发现
- 关于矩阵函数，建立了量子查询复杂度和通信复杂度的关系  
⇒ 提供了证明量子查询复杂度的一个新方法

- 给出了量子通信复杂度模型下的 QSVT 的实现方案  
⇒ 有望从通信复杂度角度得到更多关于量子优势的发现
- 关于矩阵函数，建立了量子查询复杂度和通信复杂度的关系  
⇒ 提供了证明量子查询复杂度的一个新方法

**非常感谢！**